

Моделирование распределения электростатического поля в системе электродов устройства, формирующего высоковольтный газовый разряд

© М.А. Маркушин, В.А. Колпаков, С.В. Кричевский, А.И. Колпаков

Самарский государственный аэрокосмический университет (национальный исследовательский университет),
443110 Самара, Россия
e-mail: markushin_max@mail.ru

(Поступило в Редакцию 6 мая 2014 г. В окончательной редакции 25 июля 2014 г.)

Представлена модель распределения электрического поля в системе электродов газоразрядного устройства. Показана возможность применения метода конформного отображения функции комплексной переменной для аналитического описания характера распределения эквипотенциалов поля в области круглого отверстия в аноде газоразрядного устройства. Приведена методика получения системы параметрических уравнений для определения линий равного потенциала и силовых линий поля. Получены расчетные изображения электрического поля, позволяющие определить их связь с электрофизическими параметрами электродной системы устройства.

Введение

Внеэлектродная газоразрядная плазма, формируемая высоковольтным газовым разрядом, используется для изготовления омических контактов к полупроводниковым элементам, плазмохимического травления кварца, очистки поверхностей контактов малогабаритных реле, полупроводниковых и диэлектрических подложек [1–4]. Широкое распространение этого разряда обусловлено высокой равномерностью потока заряженных частиц в области его сечения, независимостью параметров разряда от размеров обрабатываемой площади [5,6]. Данные достоинства газового разряда определяются характером распределения электрического поля в системе электродов устройства [7–9]. Это утверждение справедливо, так как именно распределение электрического поля определяет концентрацию и длину прямолинейных участков силовых линий поля, в области которых происходит процесс ионизации атомов остаточного газа. Однако в данных работах отсутствуют сведения о взаимосвязи параметров элементов конструкции устройства и электрического поля, формируемого при подаче ускоряющего напряжения на его электроды. Процесс экспериментального исследования рассматриваемой взаимосвязи достаточно трудоемок, поэтому в настоящей работе предлагается аналитическое описание характера распределения электрического поля в системе электродов газоразрядного устройства.

1. Расчет распределения электростатического поля, образуемого электродами газоразрядного устройства, методом конформных отображений

Высоковольтный газовый разряд формируется только в области отверстия в аноде [8], т.е. в области обра-

зования существенной неоднородности электрического поля. За пределами этой неоднородности конструкция газоразрядного устройства представляет собой плоский конденсатор с равномерным распределением поля. Это означает полную независимость параметров неоднородности электрического поля в области отверстия в аноде от размеров электродов плоского конденсатора. Следовательно, конструкцию газоразрядного устройства можно моделировать системой электродов, в которой области катода и анода за пределами неоднородности электрического поля удалены в бесконечность (рис. 1). Существенно неравномерный характер распределения электрического поля в области отверстия в аноде затрудняет его аналитическое описание. Поэтому для упрощения рассматриваемой задачи нахождения распределения поля необходимо ее условия свести к решению двумерной задачи. Это позволяет значительно упростить процесс расчета силовых линий и линий равного потенциала поля путем нахождения комплексного потенциала для канонической области с простой формой границ [10,11]. Другое упрощение заключается в том, что толщина анода в пределах до 0.5 мм оказывает незначительное влияние на процесс формирования электрического поля, и, поскольку указанная

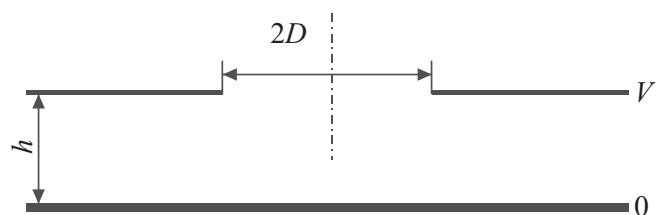


Рис. 1. Схема конструкции устройства, формирующего высоковольтный газовый разряд: h — расстояние между катодом и анодом, D — радиус отверстия в аноде, V — потенциал на аноде, 0 — потенциал на катоде [6].

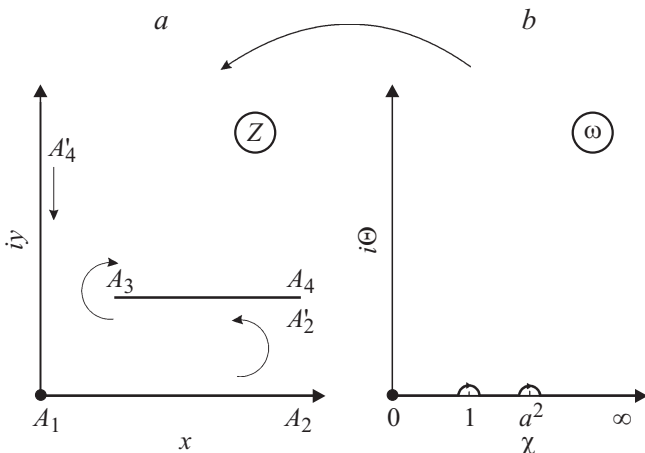


Рис. 2. Схема отображений электродной системы газоразрядного устройства: *a* — в плоскости *Z*; *b* — в плоскости ω .

1.1. Конформное отображение области, ограниченной системой электродов, на область положительных мнимых значений, ограниченную осью действительных чисел

На данном этапе вершинам $A_1A_2A_3A_4$ плоскости Z ставятся в соответствие некоторые точки действительной оси плоскости ω . Исходя из теоремы о единственности конформного отображения при заданном соответствии трех граничных точек, выбираемых произвольно, например, $0, 1, \infty$, можно получить соответствие [11]

A_1	A_2	A_3	A_4
\Downarrow	\Downarrow	\Downarrow	\Downarrow
0	1	a^2	∞

Используя методику [10–12], можно определить углы μ_k , дополняющие внутренние углы α_k при вершинах четырехугольника $A_1A_2A_3A_4$, до π . Поэтому, рассматривая внутреннюю область четырехугольника и двигаясь в положительном направлении обхода ее границы, т.е. в направлении, противоположном вращению часовой стрелки, находим углы: $\mu_1 = 1/2$ ($\alpha_1 = 1 - \mu_1 = 1/2$), $\mu_2 = 1$ ($\alpha_2 = 1 - \mu_2 = 0$), $\mu_3 = -1$ ($\alpha_3 = 1 - \mu_3 = 2$), $\mu_4 = 3/2$ ($\alpha_4 = 1 - \mu_4 = -1/2$). Согласно [12], выполнение равенства $\sum_{i=1}^4 \alpha_i = 2$ подтверждает правильность полученных значений искомых углов.

Для нахождения отображающей функции области, ограниченной многоугольником $A_1A_2A_3A_4$ используется интеграл Шварца–Кристоффеля [11]. Конформное отображение верхней полуплоскости $\text{Im } \omega > 0$, ограниченной осью действительных значений на плоскость Z , будет иметь в этом случае вид

$$Z = C \int_{\omega_0}^{\omega_1} (\omega - a_1)^{\alpha_1 - 1} (\omega - a_2)^{\alpha_2 - 1} \dots (\omega - a_n)^{\alpha_n - 1} d\omega + C. \tag{1}$$

Подставляем в выражение (1) вместо точек $a_1 - a_n$ соответствующие точки $0, 1, a^2, \infty$. Поскольку точка a_4 , соответствующая A_4 , равна ∞ , то относящийся к этой вершине множитель в интеграле Шварца–Кристоффеля выпадает [10] и рассматриваемое выражение упрощается

$$Z = C \int_0^{\omega} \omega^{-1/2} (\omega - 1)^{-1} (\omega - a^2) d\omega + C_1 = C \int_0^{\omega} \frac{(\omega - a^2)}{(\omega - 1)\sqrt{\omega}} d\omega + C_1.$$

Для решения данного интеграла введем новую переменную $\omega = x^2$, тогда его можно представить выраже-

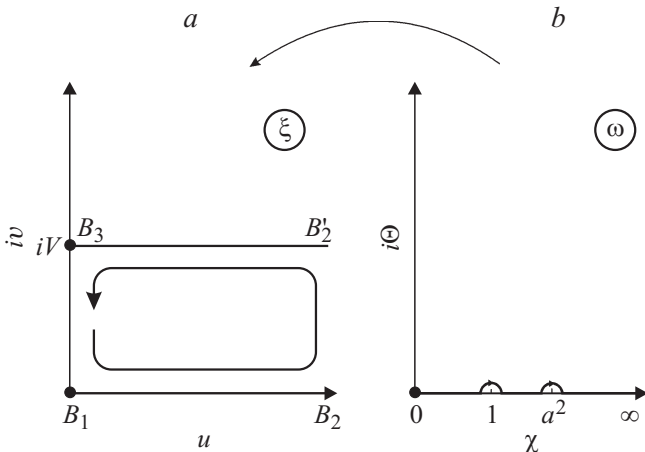


Рис. 3. Схема дополнительного отображения полуплоскости $\text{Im } \omega > 0$ на полосу $0 < \text{Im } \xi < V$ с разрезами по соответствующим лучам.

толщина много меньше межэлектродного расстояния катод–анод (h до 10 mm), этой величиной можно пренебречь. Рассматривая только правую часть полученной электродной системы, в силу ее симметричности, можно использовать для решения поставленной задачи метод конформного отображения, осуществляя проекцию электродов на комплексную плоскость Z . Данная проекция представлена на рис. 2, *a* в виде многоугольника $A_1A_2A_3A_4$.

Процесс моделирования электрического поля осуществляется поэтапно, т.е. сначала находится конформное отображение $Z = f(\omega)$ верхней полуплоскости $\text{Im } \omega > 0$ на область поля Z с электродами A_1A_2 (катод), A_3A_4 (анод) (см. рис. 2) с внутренними углами $\alpha_k\pi$ при вершинах, затем дополнительное отображение $\xi = f(\omega)$ полуплоскости ω на полосу $0 < \text{Im } \xi < V$ с внутренними углами $\beta_k\pi$ при вершинах (рис. 3).

нием

$$Z = C \int_0^{\sqrt{\omega}} \frac{(x^2 - a^2)}{(x^2 - 1)x} dx^2 + C_1$$

$$= 2C\sqrt{\omega} + C(a^2 - 1) \ln \frac{1 + \sqrt{\omega}}{1 - \sqrt{\omega}} + C_1. \quad (2)$$

Значение постоянного коэффициента C_1 определяем из соответствия точек $A_1 \leftrightarrow 0$, позволяющего записать равенство:

$$Z = 2C \cdot 0 + C(a^2 - 1) \ln \frac{1 + 0}{1 - 0} + C_1 = C_1 = 0.$$

Переход с нижнего электрода на верхний, соответствующий переходу луча A_1A_2 на луч A_3A_4 (см. рис. 2, а), позволяет определить постоянные a^2 и C . В результате функция получает приращение

$$\Delta Z = ih. \quad (3)$$

С другой стороны, при таком малом приращении $\Delta\omega$ приращение первого слагаемого в (2) также будет малым ввиду непрерывности этого слагаемого в точке $\omega = 1$. Приращение же второго слагаемого с учетом того, что при обходе точки $\omega = 1$ аргумент меняется от π до 0, имеет вид

$$\ln \frac{1 - \sqrt{\omega}}{1 + \sqrt{\omega}} = \ln(r) - \ln(re^{i\pi}) = -i\pi.$$

Это дает право записать выражение

$$\Delta Z = \lim_{r \rightarrow 0} \left[2C\sqrt{\omega} - C(1 - a^2) \ln \frac{1 - \sqrt{\omega}}{1 + \sqrt{\omega}} \right]_{\omega=re^{i\pi}}^{\omega=r}$$

$$= C(1 - a^2)(-i\pi). \quad (4)$$

Приравняв (3) и (4), получаем

$$ih = C(a^2 - 1)i\pi.$$

Таким образом, характер изменения коэффициента a^2 можно описать равенством

$$a^2 = \frac{h}{C \cdot \pi} + 1. \quad (5)$$

Соответствие точек a^2 и A_3 позволяет преобразовать выражение (2) к виду

$$D + ih = \frac{2ha}{(a^2 - 1)\pi} + \frac{h}{\pi} \ln \left(\frac{a + 1}{a - 1} \right).$$

Слагаемое ih в левой части данного уравнения можно опустить, так как точка a^2 на плоскости ω имеет только действительную координату, что позволяет упростить данное выражение до вида

$$\exp \left(D \frac{\pi}{h} - \frac{2a}{a^2 - 1} \right) = \frac{a + 1}{a - 1}. \quad (6)$$

Задаваясь конкретными значениями $D = 1.5 \text{ mm}$, $h = 1.2 \text{ mm}$, можно получить решение трансцендентного уравнения (6) и найти величину постоянной $a^2 = 2.294$. Подставляя ее в (5), получим $C = 0.295 \text{ mm}$.

В окончательном варианте функция, реализующая конформное отображение полуплоскости ω на плоскость Z , имеет вид

$$Z = 2C\sqrt{\omega} + \frac{h}{\pi} \ln \left(\frac{1 + \sqrt{\omega}}{1 - \sqrt{\omega}} \right). \quad (7)$$

Таким образом, выражения (5), (6) позволяют найти постоянную C , значение которой зависит от конструктивных параметров D и h , а выражение (7) заканчивает первый этап моделирования электростатического поля, создаваемого системой электродов устройства формирования внеэлектродной плазмы.

1.2. Конформное отображение верхней полуплоскости действительных и мнимых значений на полюсу, ограниченную бесконечными электродами

На втором этапе применяется дополнительное отображение полуплоскости $\text{Im } \omega > 0$ на полюсу $0 < \text{Im } \xi < V$ с разрезами по соответствующим лучам (см. рис. 3). При данном отображении в плоскости имеем конденсатор с бесконечными обкладками.

В силу симметричности конструкции электродов газоразрядного устройства будем рассматривать только правый треугольник с вершинами $B_1B_2B_3$, в соответствие которым ставятся некоторые точки $0, 1, \infty$, лежащие на действительной оси ω [11]:

B_1	B_2	B_3
⇕	⇕	⇕
0	1	∞ .

Внутренние углы β_k при вершинах треугольника B_1, B_2, B_3 и углы μ'_k , дополняющие углы β_k до π , определяем аналогично α_k, μ_k : $\mu'_2 = 1$ ($\beta_2 = 1 - \mu' = 0$), $\mu_3 = 1/2$ ($\beta_3 = 1 - \mu'_3 = 1/2$), $\mu'_1 = 1/2$ ($\beta_1 = 1 - \mu_1 = 1/2$).

Полученные значения $\beta_1 = 1/2, \beta_2 = 0, \beta_3 = 1/2$ обеспечивают равенство $\sum_{i=1}^3 \beta_i = 1$, что, согласно [11], подтверждает правильность значений искомых углов.

Рассматриваемое дополнительное конформное отображение также определяется с помощью интеграла Шварца–Кристоффеля [10]

$$\xi = C_2 \int_0^{\omega} \omega^{-1/2} (\omega - 1)^{-1} d\omega = C_2 \int_0^{\omega} \frac{d\omega}{(\omega - 1)\sqrt{\omega}} + C_3.$$

Введение новой переменной $\omega = u^2$ позволяет получить решение данного интеграла

$$\xi = 2C_2 \int_0^{\sqrt{\omega}} \frac{udu}{(u^2 - 1)u} + C_3 = -C_2 \ln \frac{1 + \sqrt{\omega}}{1 - \sqrt{\omega}} + C_3. \quad (8)$$

Из соответствия точек $B_1 \leftrightarrow 0$ по методике, изложенной выше, находится постоянная C_3

$$\xi = -C_2 \ln \frac{1 + \sqrt{\omega}}{1 - \sqrt{\omega}} + C_3 = 0 + C_3,$$

$$C_3 = 0.$$

Постоянная C_2 определяется аналогично постоянной C на первом этапе, а именно, при обходе точки $\omega = 1$ получаем приращение

$$\Delta\xi = iV.$$

Поскольку приращение аргумента при обходе указанной выше точки меняется от π до 0 , то приращению функции ξ соответствует выражение

$$\Delta\xi = \lim_{r \rightarrow 0} \left[-C_2 \ln \frac{1 + \sqrt{\omega}}{1 - \sqrt{\omega}} \right]_{\omega=r e^{i\pi}}^{\omega=1} = -C_2(-i\pi) = C_2 i\pi,$$

позволяющее получить равенство

$$iV = C_2 i\pi.$$

Решая это равенство, определим C_2

$$C_2 = \frac{V}{\pi}.$$

Окончательная функция, конформно отображающая полуплоскость ω на полосу $0 < \text{Im} \xi < V$, имеет вид

$$\xi = \frac{V}{\pi} \ln \frac{1 + \sqrt{\omega}}{1 - \sqrt{\omega}} = \frac{2V}{\pi} \text{arcth} \sqrt{\omega}. \quad (9)$$

Используя (7) и (9), получаем систему уравнений

$$\begin{cases} Z = 2C\sqrt{\omega} + \frac{h}{\pi} \ln \left(\frac{1 + \sqrt{\omega}}{1 - \sqrt{\omega}} \right), \\ \xi = \frac{2V}{\pi} \text{arcth} \sqrt{\omega}. \end{cases} \quad (10)$$

Из (10) находим

$$\begin{aligned} Z &= 2C \cdot \text{th} \frac{\xi\pi}{2V} + \frac{h}{\pi} \ln \left(\frac{1 + \text{th} \frac{\xi\pi}{2V}}{1 - \text{th} \frac{\xi\pi}{2V}} \right) \\ &= 2C \cdot \text{th} \frac{\xi\pi}{2V} + \frac{h}{V} \xi. \end{aligned} \quad (11)$$

Параметрические уравнения линий равного потенциала и силовых линий поля находятся из выражения (11) путем разделения действительных и мнимых частей уравнения. После разделения получаем систему уравнений, описывающую координаты распределения электрического поля в системе электродов газоразрядного устройства:

$$\begin{cases} x = \frac{hu}{V} + 2C \frac{\text{sh} \frac{u\pi}{V}}{\text{ch} \frac{u\pi}{V} + \cos \frac{v\pi}{V}}, \\ y = \frac{hv}{V} + 2C \frac{\sin \frac{u\pi}{V}}{\text{ch} \frac{u\pi}{V} + \cos \frac{v\pi}{V}}. \end{cases} \quad (12)$$

Подставляя в выражения (5), (6) и систему (12) соответствующие параметры h, V, D и меняя с необходимым шагом значения переменных v и u , можно определить координаты силовых линий и линий равного потенциала (рис. 4). Таким образом, система уравнений (12) позволяет расчетным путем, варьируя параметрами h, V, D , получить систему электродов для формирования необходимого электрического поля.

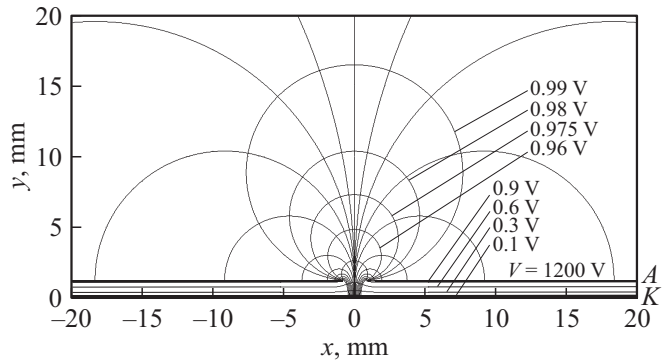


Рис. 4. Распределение силовых линий и эквипотенциалов поля в системе электродов газоразрядного устройства, полученного с помощью системы уравнений (15), при $h = 1.2 \text{ mm}$, $D = 1.5 \text{ mm}$, $V = 1200 \text{ V}$.

2. Анализ распределения электростатического поля устройства формирования внеэлектродной плазмы

Анализ распределения силовых линий поля, описываемого системой (12), показывает, что при задании значений $u = u_0$ и $v_0 = 0$, можно определить начальную координату ($x = x_0, y = y_0 = 0$) прямолинейного участка силовой линии. Далее осуществляем перебор всех значений $v = v_1 - v_n$, при которых координата $x = x_0$ постоянная, а y изменяется в пределах $y_1 - y_n$. Затем, сравнивая полученное максимальное значение y_n с длиной свободного пробега электрона $k\lambda_e$ ($k = 1, 2, 3$) и значение потенциала в данной точке с энергией ионизации атома (молекулы) рабочего газа E_i , осуществляется проверка выполнения условия возникновения внеэлектродного разряда $\gamma Q \geq 1$ по методике, изложенной в работе [8], где γ — число электронов, выбиваемых одним ионом из катода (γ -процесс), Q — количество положительных ионов, образованных электроном на траектории своего движения за счет ударной ионизации атомов и молекул рабочего газа (α -процесс). Проверка заключается в том, что энергия, набираемая электроном на длине свободного пробега, должна быть больше энергии ионизации атома рабочего газа, а энергия иона, бомбардирующего катод, должна быть достаточна для эмиссии необходимого для поддержания самостоятельного разряда количества электронов. Аналогичным образом, меняя значения $u = u_1 - u_n$ при $v_0 = 0$, определяем соответствующие им $x = x_1 - x_n$. Затем, перебирая для каждого x все значения $v = v_1 - v_n$ (смотри выше), находим $y = y_1 - y_n = 0 - k\lambda_e$, т.е., повторяя процесс сравнения, можно найти все силовые линии с начальными координатами $x_0, \dots, x_{\lambda_e}$, на прямолинейных участках которых происходит процесс ионизации (α -процесс), и соответственно длину участка катода $\Delta x = 2x_{\lambda_e}$, где осуществляется процесс эмиссии электронов из катода (γ -процесс) [13].

Для сравнения максимального значения y_n с $k\lambda_e$ необходимо найти длину свободного пробега электрона. Воспользовавшись выражением $\lambda_e = \frac{1}{N\sigma_1}$ [14], получим значение 0.203 см, которое позволяет определить $\Delta x = 318 \mu\text{m}$. Расчетное значение Δx хорошо коррелирует с экспериментальными данными, полученными в работе [9], а именно размер участка поверхности катода, где наблюдается его интенсивное распыление положительными ионами, равен $300 \mu\text{m}$, сравним с размером участка Δx , на котором прямолинейные отрезки силовых линий соответствуют по длине $k\lambda_e$, и соблюдается условие возникновения внеэлектродного разряда.

Кроме того, в каждой точке силовой линии $y_{ni} = \lambda_e, 2\lambda_e, 3\lambda_e$ соответствующий участок эквипотенциала хорошо аппроксимируется с помощью окружности. Причем центры данных окружностей смещены относительно катода устройства, что предопределяется разной длиной прямолинейных участков силовых линий: линии с максимальной длиной прямолинейного участка сгущаются к центру. Если провести кривую, проходящую по точкам пересечения касательной к окружностям в точках $y_{ni} = \lambda_e, 2\lambda_e, 3\lambda_e$ на участках силовых линий $x_0, \dots, x_{\lambda_e}$, то получится кривая параболической формы, подобная кривой, ограничивающей концы прямолинейных участков на изображении распределения электрического поля в области электродов газоразрядного прибора, приведенном в работе [9]. Именно параболическая форма данной кривой обуславливает параболическую форму профиля ямок травления на поверхности катода, образованных положительными ионами, представленного в той же работе.

Заключение

Полученные в настоящей работе результаты позволяют методом конформного отображения осуществить моделирование распределения силовых линий и эквипотенциалей электрического поля в электродной системе устройства, формирующего направленный поток внеэлектродной плазмы по таким конструктивным и физическим параметрам как расстояние анод–катод, диаметр отверстия в аноде, напряжение на электродах. Кроме того, с помощью отмеченных результатов проведена оценка длины прямолинейных участков силовых линий, на которых выполняется условие $y_{ni} = k\lambda_e$, размера катодного пятна Δx , в пределах которого осуществляется γ -процесс. Причем расхождение полученного расчетным путем значения Δx с экспериментальным составляет не более 6%. Возможность получения расчетных графических зависимостей распределения силовых линий и эквипотенциалей электрического поля в электродной системе позволяют оптимизировать конструкцию устройства формирования внеэлектродной плазмы, не проводя затратных экспериментальных исследований.

Работа выполнена при поддержке гранта Российского фонда фундаментальных исследований (проект № 15-32-20005 мол_а_вед).

Список литературы

- [1] Комов А.Н., Колпаков А.И., Бондарева Н.И., Захаренко В.В. // ПТЭ. 1984. № 5. С. 218–220.
- [2] Казанский Н.Л., Колпаков А.И., Колпаков В.А. // Микроэлектроника. 2004. Т. 33. № 3. С. 218–233.
- [3] Колпаков В.А., Колпаков А.И., Кричевский С.В. // Электронная промышленность. 1996. № 2. С. 41–44.
- [4] Колпаков В.А., Колпаков А.И., Кричевский С.В. // Компьютерная оптика. 2005. № 28. С. 80–86.
- [5] Колпаков В.А., Колпаков А.И. // Компьютерная оптика. 2003. № 25. С. 112–117.
- [6] Казанский Н.Л., Колпаков В.А., Колпаков А.И., Кричевский С.В. // Научное приборостроение. 2012. Т. 22. № 1. С. 13–18.
- [7] Пат. № 2333619 РФ. Соيفер В.А., Казанский Н.Л., Колпаков В.А., Колпаков А.И. 2008. Бюл. № 24. 5 с.
- [8] Казанский Н.Л., Колпаков В.А. Формирование оптического микрорельефа во внеэлектродной плазме высоковольтного газового разряда. М.: Радио и связь, 2009. 220 с.
- [9] Колпаков В.А., Колпаков А.И., Подлитнов В.В. // ЖТФ. 2013. Т. 83. Вып. 4. С. 41–46.
- [10] Миролюбов Н.Н., Костенко М.В., Левинштейн М.Л., Тиходеев Н.Н. Методы расчета электростатических полей. М.: Высшая школа, 1963. 415 с.
- [11] Лаврентьев М.А., Шабат Б.В. Методы теории функции комплексного переменного. М.: Наука, 1973. 736 с.
- [12] Новгородцев А.Б., Фетхиев А.Р., Фетхиева И.С. Применение функции комплексного переменного к расчету электростатических полей электродов сложной конфигурации. Уфа: Уфимский ордена Ленина авиац. ин. им. Серго Орджоникидзе, 1986. 82 с.
- [13] Райзер Ю.П. Физика газового разряда. М.: Наука, 1987. 592 с.
- [14] Кудрявцев А.А., Смирнов А.С., Цендин Л.Д. Физика тлеющего разряда: Учебное пособие. СПб.: Лань, 2010. 512 с.